

# Estructura del paper / informe

---

- Introducción y objetivos
- Metodología:
  - Descripción del ensayo
  - Descripción del análisis estadístico
- Resultados
  - Texto
  - Gráfico o tabla
- Discusión y conclusiones
- Bibliografía

# Materiales & Métodos

## ¿Cómo describir el análisis estadístico?

---

- ❑ Las variables continuas fueron expresadas como (media y DE / media y EE / mediana y RIQ) y las categóricas como frecuencia y porcentaje.
- ❑ Las diferencias entre los (niveles) fueron analizadas mediante (test 1, test 2, lo que fuese apropiado) para variables continuas y (test 1, test 2, lo que fuese apropiado) para variables categóricas.
- ❑ El supuesto de normalidad se analizó mediante (test) y el de homocedasticidad mediante (test).
- ❑ Se consideraron significativas aquellas pruebas con  $p < (\text{nivel de significación})$
- ❑ Todos los análisis estadísticos fueron efectuados utilizando el programa estadístico (Infostat 2019, FCA, Universidad Nacional de Córdoba)

# Resultados

---

## Tablas y/o figuras

- ❑ Se deben mostrar **todos** los resultados de las variables respuesta primarias, no sólo los que dieron significativos o resultan interesantes
- ❑ Complementan el texto, no lo duplican
- ❑ Deben estar integradas al texto pero deben diseñarse para comprenderse por separado
- ❑ En el texto se referencian por su número (toda tabla o figura presentada **debe** estar referenciada en el texto)
- ❑ Convenientemente rotuladas

# Tablas y figuras: ckeck-list

**Table 2.** Efficacy Outcomes in Patients Treated With Dexmedetomidine vs Midazolam

Outcome	No. (%)		P Value
	Dexmedetomidine (n = 244)	Midazolam (n = 122)	
Time in target sedation range (RASS score -2 to +1), mean, % <sup>a</sup>	77.3	75.1	.18
Patients completing all daily arousal assessments	225 (92)	103 (84.3)	.09
Patients requiring study drug interruption to maintain RASS score -2 to +1	222 (91)	112 (91.8)	.85
Duration of study drug treatment, median (IQR), d	3.5 (2.0-5.2)	4.1 (2.8-6.1)	.01
Time to extubation, median (95% CI), d <sup>b</sup>	3.7 (3.1-4.0)	5.6 (4.6-5.9)	.01
ICU length of stay, median (95% CI), d <sup>b</sup>	5.9 (5.7-7.0)	7.6 (6.7-8.6)	.24
Delirium			
Prevalence	132 (54)	93 (76.6)	<.001
Mean delirium-free days <sup>c</sup>	2.5	1.7	.002
Open-label midazolam use			
No. treated	153 (63)	60 (49)	.02
Dose, median (IQR), mg/kg <sup>d</sup>	0.09 (0.03-0.23)	0.11 (0.03-0.28)	.65
Fentanyl use			
No. treated	180 (73.8)	97 (79.5)	.25
Dose, median (IQR), µg/kg <sup>d</sup>	6.4 (1.8-26.3)	9.6 (2.9-28.6)	.27

Abbreviations: CI, confidence interval; ICU, intensive care unit; IQR, interquartile range; RASS, Richmond Agitation and Sedation Scale.<sup>23</sup>

<sup>a</sup>The mean difference in percentage of time within target sedation range between the dexmedetomidine and midazolam treatment groups was calculated using the Mann-Whitney test.

<sup>b</sup>Calculated using Kaplan-Meier survival analysis, with differences between treatment groups assessed by the log-rank test. Log-rank P values were adjusted for multiple comparisons using the Bonferroni method.

<sup>c</sup>Number of days alive without delirium during study drug treatment.

<sup>d</sup>Calculated as the total dose during study treatment divided by body mass.

## Tablas

- Título
- Estadísticos para cada grupo (tratamientos):
  - n
  - media y DE o EE
  - mediana y rango o RIQ
  - Cantidad de eventos y porcentaje
- Unidades de medida de las variables
- Significación
- Magnitud del efecto (IC para la **diferencia** entre los dos tratamientos)

**Table 1.** Baseline Characteristics and Medications of the Patients

Characteristic	SHDB Tirofiban + Sirolimus-Eluting Stent (n = 87)	Abciximab + Bare-Metal Stent (n = 88)	P Value
Age, median (IQR), y	62 (54-72)	63 (55-72)	.69
Men, No. (%)	67 (77)	61 (69)	.72
Body mass index, median (IQR)*	26 (24-29)	26 (24-29)	.79
Diabetes, No. (%)†	15 (17)		
Hypertension, No. (%)†	48 (55)		
Smoker, No. (%)†	34 (39)		
Creatinine clearance, median (IQR), mL/min	74 (55-102)		
Medical history, No. (%)			
CABG surgery	2 (2)		
PCI	4 (5)		
MI	11 (13)		
Cerebrovascular accident	5 (6)		

■ **Tabla 1:**  
Características  
demográficas basales  
y factores de riesgo  
potenciales

■ **Tabla 2:** Efecto  
general de los  
tratamientos sobre  
la/s variable/s  
primaria/s

**Table 3.** Quantitative Coronary Analysis

Variable	SHDB Tirofiban + Sirolimus-Eluting Stent (n = 87)	Abciximab + Bare-Metal Stent (n = 88)	P Value
Preprocedure, median (IQR)			
RVD, mm	2.27 (1.95 to 2.59)	2.33 (2 to 2.7)	.34
MLD, mm	0 (0 to 0.2)	0 (0 to 0.18)	.67
Diameter stenosis, %	100 (90 to 100)	100 (93 to 100)	.49
Lesion length, mm	13 (9.6 to 18)	13.1 (10 to 18)	.91
Postprocedure, median (IQR)			
RVD, mm	2.18 (1.9 to 2.6)	2.33 (2 to 2.7)	.24
MLD, mm	1.92 (1.6 to 2.2)	1.98 (1.6 to 2.3)	.53
Acute luminal gain, mm*	1.85 (1.36 to 2.08)	1.9 (1.45 to 2.2)	.36
Diameter stenosis, %	13 (6.5 to 20.5)	16 (5 to 26)	.30
Follow-up, median (IQR)			
RVD, mm	2.53 (2.1 to 2.9)	2.63 (2.2 to 3)	.34
MLD, mm	1.98 (1.6 to 2.4)	1.48 (0.9 to 2)	<.001
Diameter stenosis, %	15 (5.5 to 24)	42 (28 to 70)	<.001
Late loss, mm†	-0.22 (-0.39 to 0.19)	0.6 (0.12 to 0.96)	<.001
Binary restenosis, No. (%)	(n = 66)	(n = 67)	
In-stent	5 (7.5)	19 (28)	.01
Proximal edge‡	1 (1.5)	4 (6)	.36
Distal edge‡	0	1 (1.5)	>.99
Target vessel	7 (11)	24 (36)	.008
Focal restenosis, No./total (%)§	5/6 (83)	7/24 (29)	.24
Reocclusion, No. (%)	0	5 (7)¶	>.99

Abbreviations: IQR, interquartile range; MLD, minimal lumen diameter; RVD, reference-vessel diameter; SHDB, single high-dose bolus.

\*Postprocedure MLD minus baseline MLD.

†Postprocedure MLD minus MLD at follow-up.

‡Restenosis within the 5-mm segment proximal or distal to the stent edge.

§Length <10 mm. Percentages given refer to patients presenting with binary restenosis at follow-up.

¶Two patients had subacute stent thrombosis during hospitalization, while the remaining 3 patients presented with reocclusion at follow-up due to occlusive in-stent restenosis.

**Table 1** Polycystic ovary syndrome (PCOS) patients' characteristics (mean and s.d.) at baseline and end point (after 6 months of metformin or rosiglitazone treatment).

Characteristic	Metformin group				Rosiglitazone group				Treatment/time effect <i>P</i> value	Difference in change between groups <i>P</i> value
	Baseline		Endpoint		Baseline		End point			
	Mean	S.D.	Mean	S.D.	Mean	S.D.	Mean	S.D.		
GLUT4 mRNA expression	0.68	0.61	1.24	0.78	0.86	0.56	1.53	0.56	<0.001	0.040
Fasting glucose (mmol/l)	4.43	0.38	4.26	0.30	4.31	0.36	4.33	0.27	0.117	0.318
Fasting insulin (mIU/l)	14.72	9.40	12.14	6.87	11.13	5.81	9.21	3.85	0.014	0.360
HOMA <sub>IR</sub> score	2.93	1.93	2.31	1.38	2.17	1.25	1.79	0.79	0.008	0.473
BMI (kg/m <sup>2</sup> )	29.34	6.49	28.62	7.20	27.03	3.87	27.15	3.88	0.307	0.140
LH (IU/l)	9.11	6.19	8.19	4.85	7.91	5.81	7.90	5.81	0.596	0.970
FSH (IU/l)	5.08	1.88	6.12	2.99	5.01	1.96	5.47	2.34	0.093	0.488
DHEAS (μmol/l)	6.80	2.81	7.02	2.53	6.37	2.37	6.68	3.48	0.493	0.980
Androstendione (nmol/l)	9.38	3.75	8.16	3.52	8.75	2.97	9.47	3.33	0.651	0.286
Serum total testosterone (nmol/l)	3.17	1.07	2.64	0.80	2.77	1.19	2.38	0.83	0.001	0.690
Serum free testosterone (pmol/l)	9.89	4.42	9.29	4.99	8.09	5.42	8.18	4.13	0.712	0.832
Periods/subject per 6 month	2.71	1.83	3.65	1.97	3.63	1.63	4.63	1.54	<0.001	0.605

European Journal of Endocrinology (2008) 158 793–801

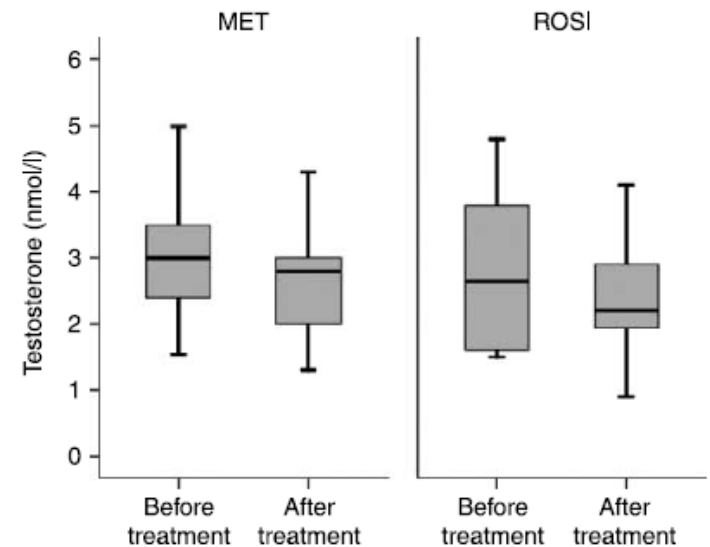
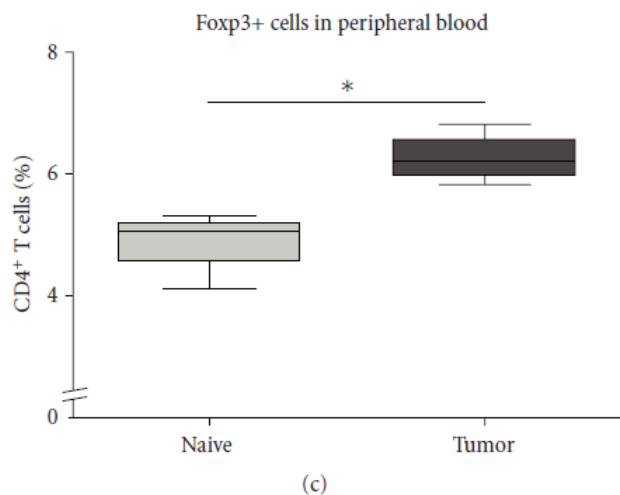
**Table 2.** Primary outcome – admission to delivery interval in hours

Admission to delivery interval	IMN		Placebo		IMN–placebo	<i>P</i> -value
	<i>n</i>	Mean (SD)	<i>n</i>	Mean (SD)	(95% CI)	
All	177	25.1 (18.1)	173	26.7 (16.7)	–1.59 (–5.08, 1.89)	0.37

# Tablas y figuras: ckeck-list

## □ Figuras

- Título
- Estadísticos para los grupos:
  - media y DE o EE
  - mediana y rango o RIQ
- Unidades de medida de las variables
- Significación



**Figure 1** Distribution of the serum total testosterone at baseline and end point by the treatment groups ( $P=0.001$  for the treatment/time effect), MET, the group on metformin and ROSI, the group on rosiglitazone.

# Tablas y figuras: ckeck-list

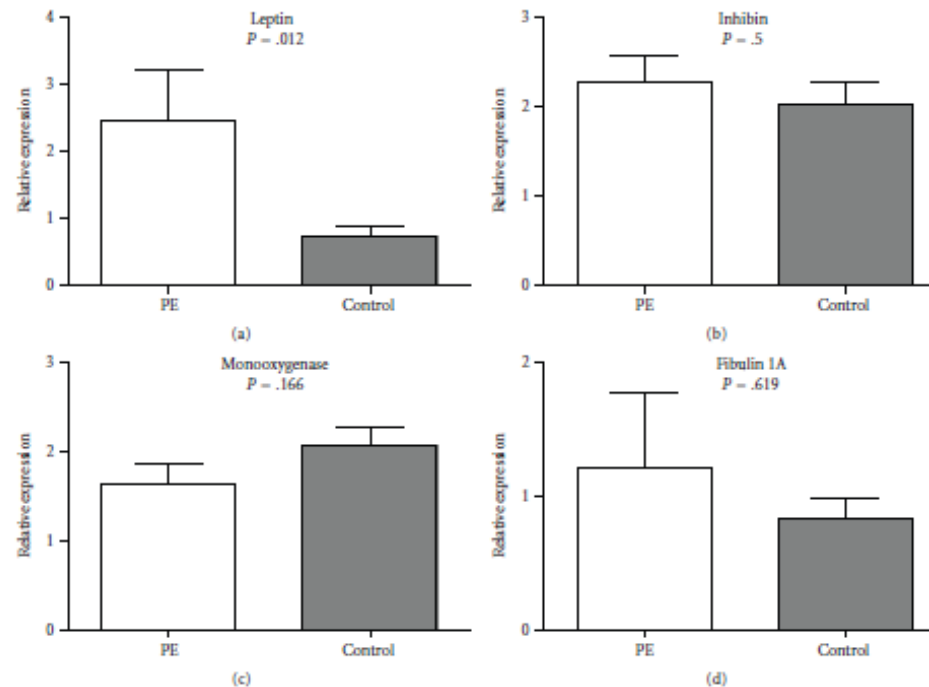


FIGURE 2: The expression patterns of the sequences as determined by real-time PCR. White bars represent pre-eclampsia cases; grey bars represent controls. Each bar represents the mean (+SEM) relative expression of the individual samples in the experiment. P-values for comparisons between cases and controls were: Fibulin (.619; FC 1.46), leptin (.012; FC 3.41), inhibin (.500; FC 1.13), tyr 3-monooxygenase/trypt 5-monooxygenase activation protein  $\alpha$  ( $P = .166$ ; FC - 1.27); Mann-Whitney test. (Pre-eclampsia cases:  $n = 9$ , controls:  $n = 12$ ; one control placenta was found to have a cDNA yield which was significantly lower than the other samples and it was therefore excluded from the subsequent analyses).



# En análisis de la varianza

---

- Los resultados para (*variable respuesta*) fueron analizados mediante análisis de la varianza en un diseño (*DCA, DBA, factorial, etc*). El factor fue (*A*) con (*a*) niveles: (*enumerar tratamientos*). Las comparaciones entre tratamientos se efectuaron utilizando la prueba de (*método usado*).
- El supuesto de normalidad se estudió mediante (*métodos usados*) y el de homocedasticidad utilizando (*métodos usados*)
- Se consideraron significativas aquellas pruebas con  $p <$  (*nivel de significación*)
- Todos los análisis estadísticos fueron efectuados utilizando el programa estadístico (*Infostat 2019, FCA, Universidad Nacional de Córdoba*)

## Variación de parámetros corporales y reproductivos en vaquillas suplementadas con semillas de algodón y soja en el chaco argentino

Koza, G.A.<sup>1</sup>; Mottet, H.A.<sup>2</sup>; Barboza, N.N.<sup>1</sup>; Mussart, N.B.<sup>1</sup>; Fioranelli, S.A.<sup>1</sup>; Gauna Pereira, M.C.<sup>1</sup>; Alvarez Chamale, G.M.<sup>2</sup>; Coppo, J.A.<sup>1</sup>

**Tabla 4.** Modificación de los parámetros genitales, peso vivo y condición corporal.

parámetro	lote			EE	p
	SA	SS	CT		
<i>ovario izquierdo</i>					
ancho (cm)	0,65a	0,72a	0,31b	0,10	0,0105
largo (cm)	1,15a	1,23a	0,47b	0,16	0,0025
circunferencia (cm)	2,88a	3,19a	1,25b	0,41	0,0027
<i>ovario derecho</i>					
ancho (cm)	0,75a	0,74a	0,31b	0,10	0,0036
largo (cm)	1,28a	1,15a	0,45b	0,15	0,0007
circunferencia (cm)	3,26a	2,99a	1,20b	0,36	0,0009
peso vivo (kg)	206,05a	206,11a	156,84b	5,15	0,0001
condición corporal	4,66a	4,79a	2,89b	0,08	0,0001

EE: error estándar, p: significancia. Letras distintas expresan diferencias significativas ( $p < 0,05$ ).

SA: semillas de algodón, SS: semillas de soja, CT: sin suplemento,

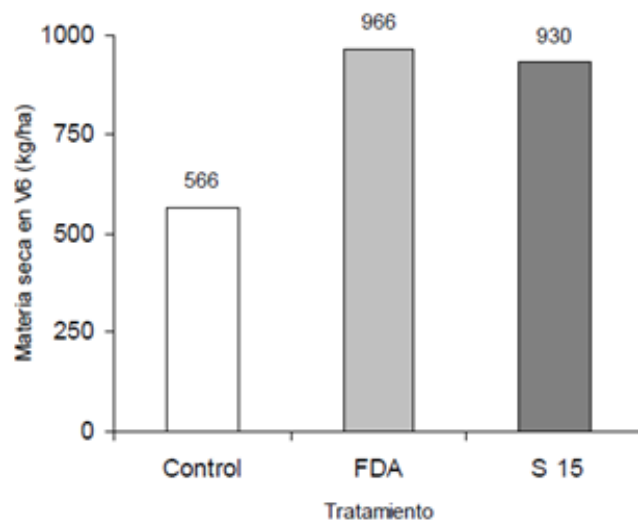


Figura 1: Materia seca de maíz en estadios de V6 según el tratamiento de fertilización de arranque. FDA= 95 kg/ha (18-46-0) y S15= 130 kg/ha mezcla Cargill (14-33-0-15)

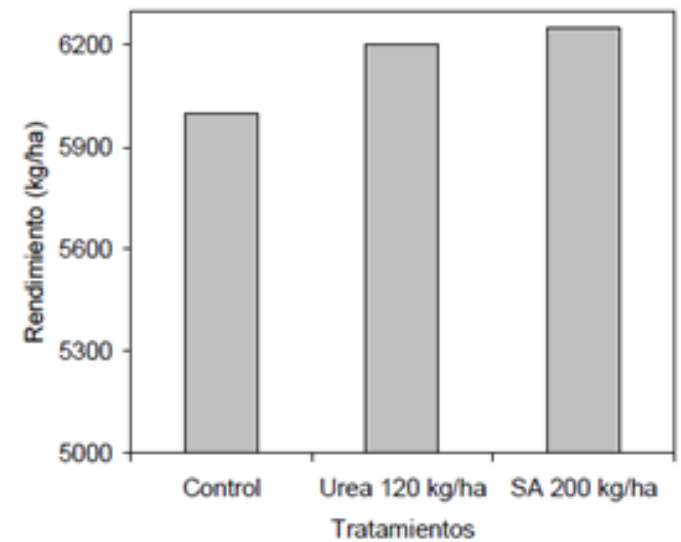


Figura 4: Respuesta de cultivos de maíz fertilizados con 60 kg/ha de N como urea o como sulfato de amonio (SA) en América, Bs.As.

Cuadro 1: Peso y composición morfológica de las plantas de dos híbridos de sorgo.  
Table 1: Weight and plant morphological composition of two sorghum hybrids.

Variable	AG200	BMR	EEM	Significancia
Peso total (g MS/planta)	112,3	115,4	6,66	NS
Hoja (g MS/planta)	29,5	31,0	1,29	NS
Tallo (g MS/planta)	44,7	28,6	3,08	***
Panoja (g MS/planta)	38,1	55,8	3,92	**
Hoja (%)	27,4	27,5	0,75	NS
Tallo (%)	39,5	25,3	1,43	***
Panoja (%)	33,2	47,1	1,81	***
Relación Hoja/Tallo	0,72	1,15	0,04	***

EEM: error estándar de la media; NS:  $p > 0,05$ ; \*\* $p < 0,01$ ; \*\*\* $p < 0,001$ .

Barras de error?  
P exacto?

# Las 10 razones más frecuentes de rechazo de manuscritos (según una revista de Medicina)

---

1. Estadísticas inadecuadas o incompletas
2. Sobreinterpretación de los resultados
3. Empleo de instrumentos o metodología inadecuadas
4. Muestra demasiado pequeña o sesgada
5. Texto mal escrito o difícil de seguir
6. Mal enunciados los objetivos o hipótesis
7. Datos imprecisos o incoherentes
8. Revisión de la literatura incompleta, imprecisa o desactualizada
9. Datos insuficientes
10. Tablas o figuras defectuosos